

## 論 文

大韓造船學會誌  
第20卷 第4號 1983年 12月  
Journal of the Society of  
Naval Architects of Korea  
Vol. 20, No. 4, December 1983

### 補剛된 有孔板의 挫屈強度解析(第 2 報)

—剪 斷 挫 屈—

張 昌 斗\* · 羅 昇 淮\*\*

The Buckling Analysis of Stiffened Plate with Hole(2nd Report)

—Shear Buckling—

by

C.D. Jang · S.S. Na

#### Abstract

When the perforated panels are under in-plane shear loads, shear buckling analysis is also necessary because of the presence of stress concentration around holes.

To constrain it, we need some reinforcement. The methods of reinforcement are attaching doubler around hole and stiffeners in the arbitrary directions.

In this paper, two kinds of methods mentioned above are investigated, it is also clarified that which of the two is the more effective reinforcement.

For the sake of convenience those arbitrary directions were selected parallel ( $90^\circ$ ) and oblique ( $135^\circ$ ) to the edge.

From the results of the above investigation, following conclusion was obtained. In case of parallel stiffeners, doubler reinforcement gives higher buckling strength than stiffener, however, in case of oblique stiffeners, stiffener reinforcement gives higher buckling strength than doubler when the external load direction is known.

energy method가 使用되었다.

1967年 Rockey, Anderson, Cheung[2]이 有限要素法을 利用하여 같은 問題를 解決하였다.

開口가 剪斷挫屈에 미치는 影響에 對해서는 正方形板의 中心에 圓形開口를 設置해 그 直徑이 變化하는 경우[3], 板幅比와 境界條件의 變化에 따른 挫屈係數 등이 계산되었다[4].

西原[12]등은 補剛시킨 경우를 解析하여 구멍을 鏽음으로서 생긴 挫屈強度의 弱化를 크게 補剛시킬 수 있다는 것을 보여주었다.

本 論文에서는 먼저 正方形板의 中心에 圓形開口를 設置해 有孔板을 解析하였다. 그리고 補剛된 有孔板을

最近 船舶의 大型化로 transverse web frame은 相對的으로 두께가 薄어지고 各種의 開口를 갖는 것이 常例가 되어 從來에는 問題가 되지 않았던 開口部의 強度가 큰 問題로 대두되고 있다. 開口가 壓縮挫屈에 미치는 影響에 對해서는 Yim등이 다루었으며[1], 本論文에서는 剪斷挫屈에 미치는 影響에 對해서 檢討해 보고자 한다.

正方形 有孔板의 剪斷挫屈에 對한 처음 시도는 1949年에 Kroll에 依해서였는데, 여기서는 Timoshenko의

接受日字 : 1983年 10月 24日, 再接受日字 : 1983年 11月 7日.

\* 正會員, 서울大學校 工科大學

\*\* 正會員, 서울大學校 大學院

解析하였는데, 開口에 接해 板의 兩邊에 평행한 경우 ( $90^\circ$ )와 경사진 경우 ( $135^\circ$ )에 對해 stiffener를 板의 中央面에 대해 對稱으로 붙인 補剛板과 開口주위에 doubler를 붙인 補剛板에 剪斷荷重을 加하여 挫屈值을 有限要素法에 依해 求하였다.

여기서 求한 挫屈值을 基礎로 여려가지 補剛方法에 對하여 가장 效果的인 方法을 提示하고자 한다.

## 2. 解析方法

### 2.1. 概要

Fig. 1에서 보인 것 같이 剪斷荷重을 받는 비교적 얇은 平板과 stiffener에 對해서 挫屈變形에 따른 energy

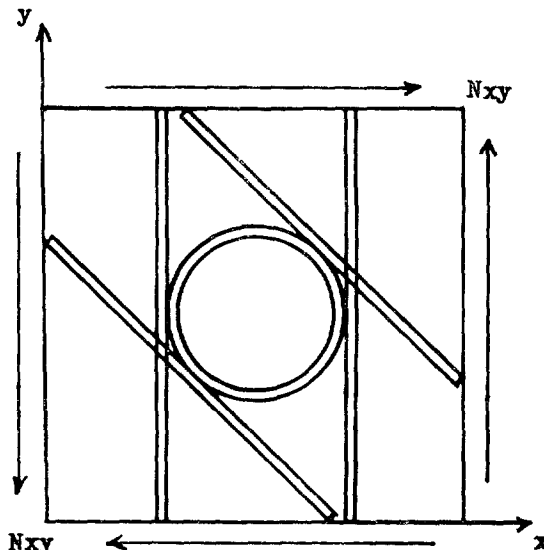


Fig. 1 Inplane load

를 考察하고 이것을 最小 potential energy 原理를 利用하여 有限要素法으로 定式化하여 挫屈解析을 하였다.

### 2.2. 有限要素法의 定式化[1]

total potential energy  $\Pi$ 는

$$\begin{aligned} \Pi &= U + V \\ &= \frac{D}{2} \iint \left\{ \left( \frac{\partial^2 w}{\partial x^2} + \frac{\partial^2 w}{\partial y^2} \right)^2 - 2(1-\nu) \left[ \frac{\partial^2 w}{\partial x^2} \cdot \frac{\partial^2 w}{\partial y^2} - \left( \frac{\partial^2 w}{\partial x \partial y} \right)^2 \right] \right\} dx dy \\ &\quad - \frac{1}{2} \iint \left[ N_x \left( \frac{\partial w}{\partial x} \right)^2 + N_y \left( \frac{\partial w}{\partial y} \right)^2 + 2N_{xy} \left( \frac{\partial w}{\partial x} \right) \left( \frac{\partial w}{\partial y} \right) \right] dx dy \end{aligned} \quad (1)$$

有限要素法으로 定式化시킨면, 變形에너지  $U$ 는

$$U = \frac{1}{2} \iint_{AN} (\delta_N)^T [B]^T [D] [B] \delta_N dx dy \quad (2)$$

여기서

$$[K_N] = \iint_{AN} [B]^T [D] [B] dx dy$$

外力(初期應力)의 potential energy  $V$ 는

$$V = \frac{1}{2} \iint_{AN} t (\delta_N)^T [G]^T [\sigma] [G] \delta_N dx dy$$

여기서

$$[K_{N'}] = \iint_{AN} t [G]^T [\sigma] [G] dx dy$$

$$[\sigma] = \begin{bmatrix} \sigma_x & \tau_{xy} \\ \tau_{xy} & \sigma_y \end{bmatrix}$$

$\sigma$ 는 外力으로서 剪斷荷重이 주어졌을 때 面內에 分布되어 있는 應力으로 有孔板에서는 應力集中이 생기므로 有限要素法에 依해 面內應力を 求해야 한다.

以上的 結果에 서 板全體의 total potential energy  $\Pi$ 는

$$\Pi = \frac{1}{2} (\delta)^T [K + K'] \delta \text{ 가 됨다} \quad (4)$$

變分을 取해 0으로 等으면

$$\delta \pi = [K + K'] \delta = 0 \quad (5)$$

여기서 求한 有孔板中 제일 작은 值이 挫屈荷重을 決定한다.

本論文에서는이 固有値을 subspace iteration method를 使用하여 挫屈係數를 求하였다

## 3. 解析例

### 3.1. Program의 構成

本論文의 program은 平板과 stiffener의 特性値, 境界條件등의 入力은 subprogram INPUT에서 하고, subprogram STiFPB에서는 3角形要素을 使用하여 subprogram STiFS에서는 stiffener要素을 使用하여 強韌剛性과 幾何學的剛性行列을 求하고 subprogram ADDBAN과 ASSEM에서 assemble시켰으며 subprogram BAND에서 band特性을 고려하여 面內應力を 求했으며 subprogram DSUB에서 band幅을 고려하여 subspace iteration method로 풀어서 挫屈係數와 挫屈形狀을 求하였다.

### 3.2. 解析例

model은  $600 \times 600\text{mm}$ 의 正方形板으로 板두께는  $6.5\text{ mm}$ 이다. 形狀은 Fig. 3에 보인 것 같이 板의 中心에 圓孔이 뚫어져 있고 그 直徑은  $160\text{mm}$ 와  $250\text{mm}$ 이다 (Table 1).

stiffener는 平板과 同一한 材料로 두께는  $6.5\text{mm}$ 이고 平板의 表面으로부터  $13\text{mm}$ 씩 兩表面에 對稱으로 붙인 것이다.

簡單한 例題에서 計算한 結果를 Table 2에 보인다.

Table 2는 아래 그림에 보인 것 같이 單純支持의 正方

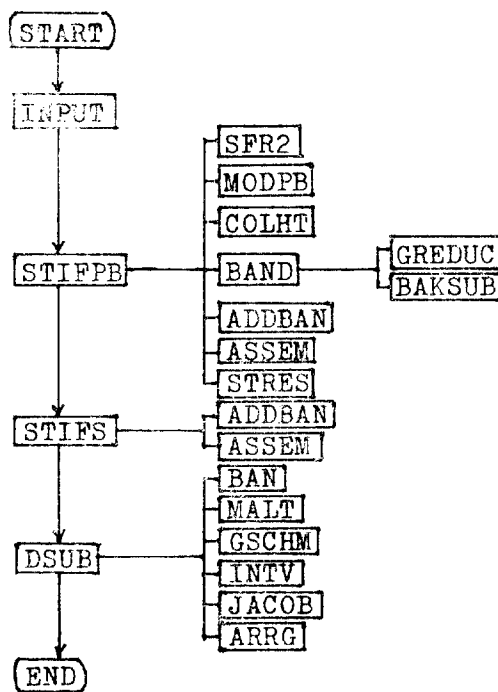


Fig. 2 Structure of program

Table 1 Types of models

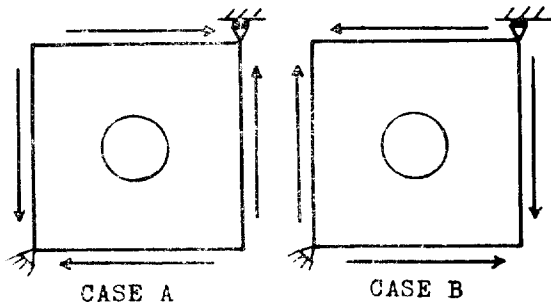
	Hole radius (mm)	Length of stiffener (mm)	Angle (°)
Model S	160	0	
	160	212.5	90
	160	435.4	90
	160	600	90
	160	251.2	
	160	200	135
	160	455	135
	160	648.4	135
Model L	250	0	
	250	200	90
	250	400	90
	250	600	90
	250	392.5	
	250	141.4	135
	250	353.5	135
	250	565.6	135

形板에 剪斷荷重을 加했을 때의 挫屈係數이며 그 正解는  $k=9.34$  이다.

이 결과로 부터 本 論文의 挫屈計算法은 mesh를 크게 늘려 有孔板을 解析하였으므로 충분히 正解에 수렴

Table 2 Test calculation

	Mesh	$4 \times 4$	$8 \times 8$	$12 \times 12$
Timoshenko	K	9.34	9.34	9.34
Authors	K error (%)	8.282 11.4	8.968 3.9	9.23 1.2



하리라고 생각한다.

다음은 Fig. 3에서 도시한 각 model에 對하여 剪斷挫屈係數를 두 가지 荷重方向 즉, CASE A 및 CASEB에 對하여 계산한 結果를 Table 3에 실었다.

stiffener를  $90^\circ$ 로 블인 model과 doubling을 한 model은 CASE A와 CASE B 모두 거의 같은 값을 나타내었으며 stiffener를  $135^\circ$ 로 블인 model은 荷重方向에 對

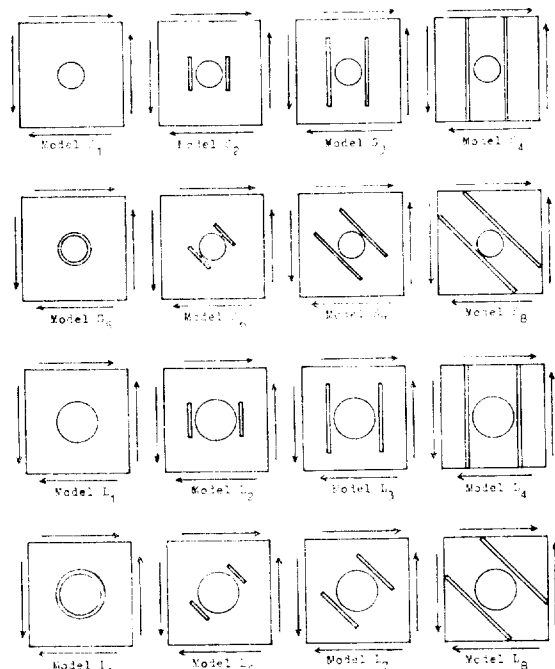


Fig. 3 Shapes of models

Table 3 Buckling coefficients of models

	Buckling coefficient (CASE A)	Buckling coefficient (CASE B)
Model S1	6.254	
S2	7.935	
S3	12.690	
S4	13.677	
S5	10.483	
S6	12.659	6.859
S7	17.346	7.982
S8	20.970	8.778
Model L1	4.353	
L2	4.797	
L3	7.784	
L4	9.523	
L5	9.261	
L6	7.362	4.665
L7	11.985	5.283
L8	14.014	6.084

해 커다란 차이를 보여주었다.

荷重方向을 모를 때 CASE A와 CASE B에서 구한  
挫屈荷重을 실제構造物에 적용할 때는 상당한 주의를  
기울여야 하겠다. 또한 壓縮挫屈時와 마찬가지로 圓孔이  
작은 Model Si에 비해 圓孔이 큰 Model Li가 挫屈  
强度가低下되고 있는데 이것은 圓孔이 커짐에 따라  
應力集中이 커지고構造物의 굽힘剛性이低下되는데  
기인된다고 본다. 補剛材의 길이가 길수록 挫屈强度는  
증가하지만 stiffener補剛과 doubler補剛中 어느것이 有

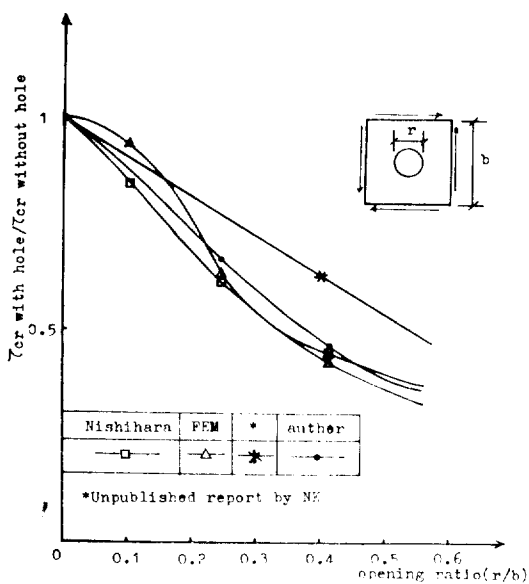


Fig. 4 Comparison of buckling strength of perforated panels

利할 것인가는 荷重方向에 따라 상당한 차이가 있으므로 注意를 해야 하겠다.

以上의結果에 對해 挫屈時의 補剛板의 挫屈形狀 및  
面內初期應力分布를 검토하여 보다 구체적인 考察을  
해 보고자 한다.

#### 4. 考 察

剪斷荷重에 依해서 구멍 주위에서는 壓縮荷重과는

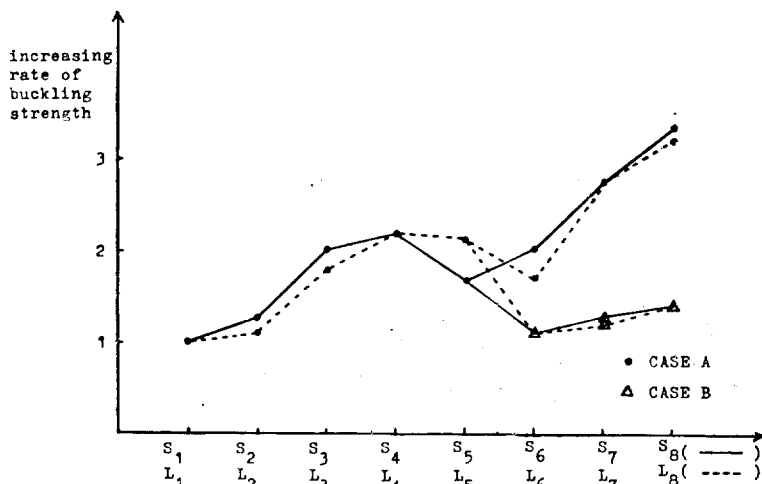


Fig. 5 The increasing rate of buckling strength based on Model S1 and L1

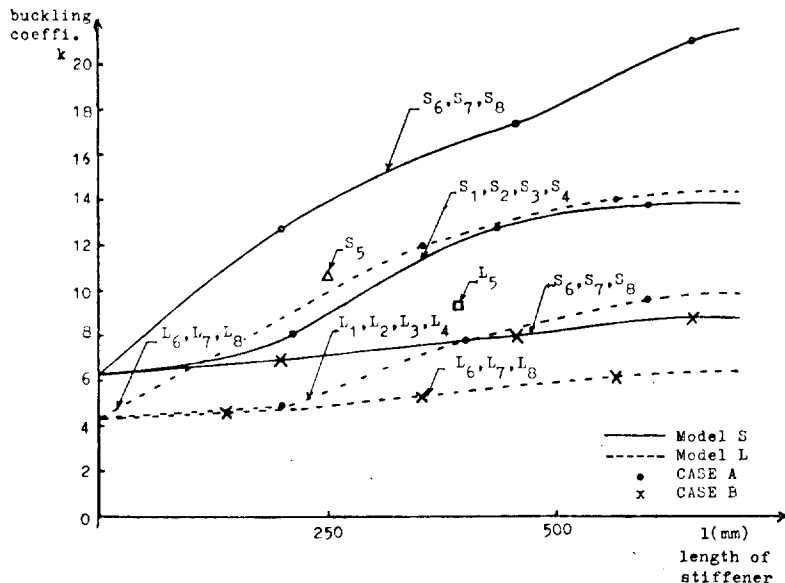
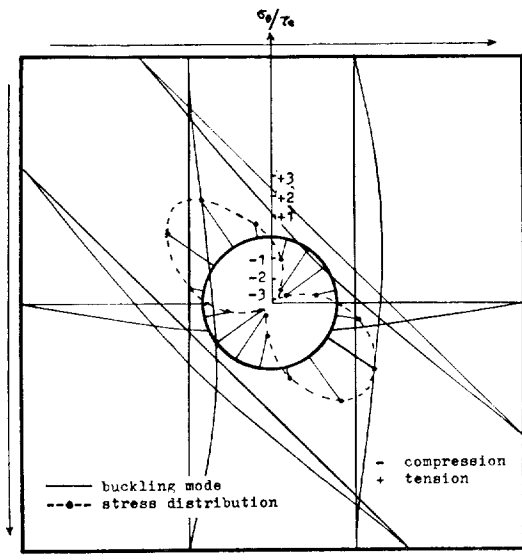
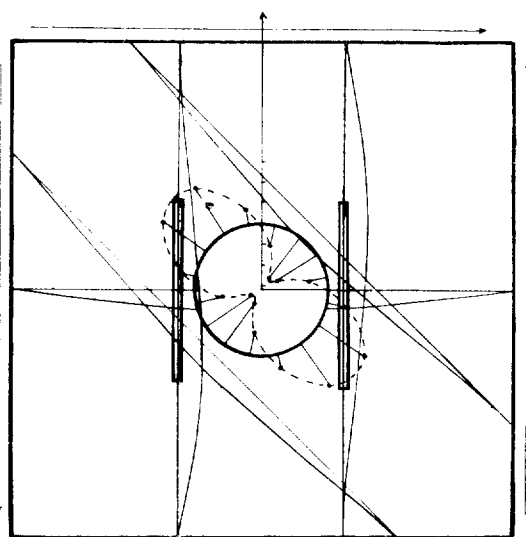


Fig. 6 The Buckling coefficient in proportion to length of stiffener

Fig. 7 The buckling mode and stress distribution of Model  $S_1$ 

달리 壓縮應力과 引張應力 모두 集中됨을 보여주었다. 壓縮應力와 引張應力集中이  $90^\circ$  간격으로 교대되었으며 그 集中率은 3배정도였다.

Model  $S_1$ 과 Model  $L_1$ 에서 直徑을 늘려 挫屈形狀과 挫屈時의 板內의 應力分布를 比較한 結果 直徑이 커짐에 따라 應力集中이 커져 壓縮應力과 引張應力이 커졌으며 刚性도 그만큼 떨어져 挫屈强度는 낮아졌다.

Fig. 8 The buckling mode and stress distribution of Model  $S_2$ 

Model  $S_1$ 과  $S_2$ ,  $L_1$ 과  $L_2$ 를 比較한 結果, 應力集中面에서 큰 차이를 나타내지 못했는데, 이것은 荷重方向과는  $45^\circ$ 가운데 補剛되어있기 때문에 應力集中을 크게 防止 못했으나 stiffener의 刚性이 커진 영향으로 挫屈强度가 증대되었다. Model  $S_3$ 와  $S_4$ ,  $L_3$ 와  $L_4$ 도 마찬가지로 stiffener의 刚性때문에 挫屈强度가 더 증대되었다.

Model  $S_1$ 과  $S_6$ ,  $L_1$ 과  $L_6$ 를 比較한 結果, 구멍 直徑

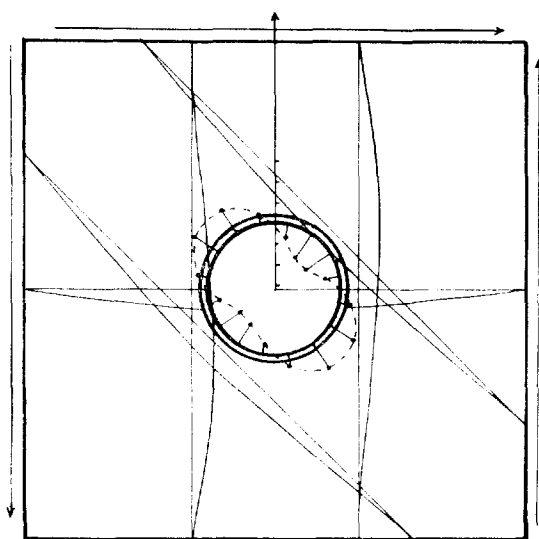


Fig. 9 The buckling mode and stress distribution of Model  $S_5$

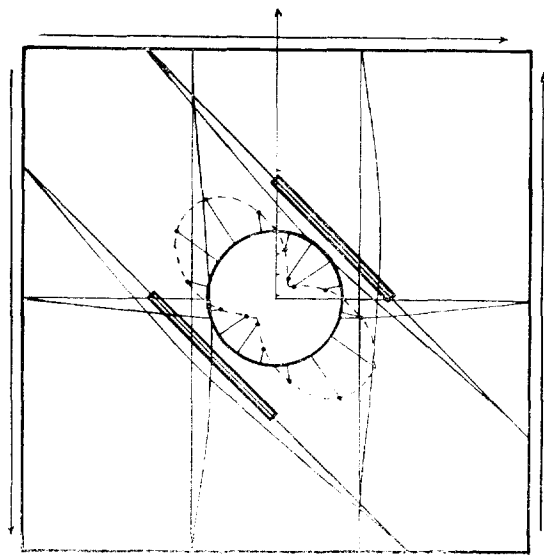


Fig. 10 The buckling mode and stress distribution of Model  $S_6$

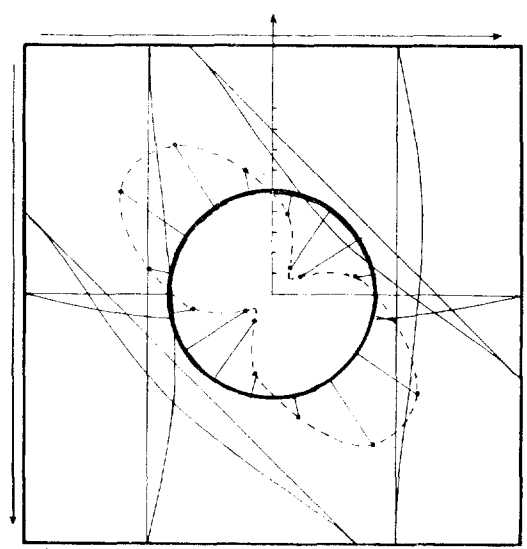


Fig. 11 The buckling mode and stress distribution of Model  $L_1$

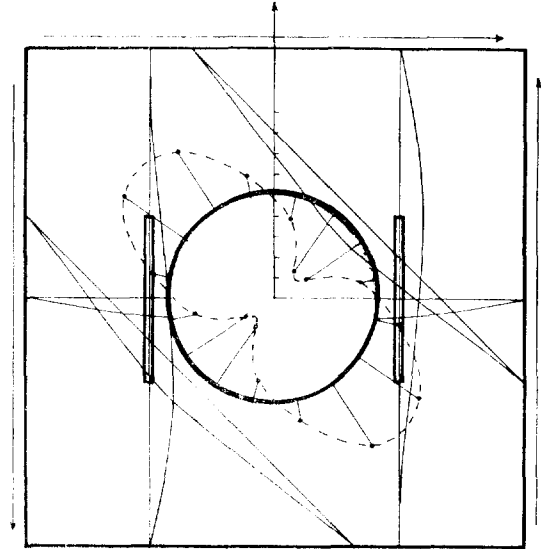


Fig. 12 The buckling mode and stress distribution of Model  $L_2$

크기의 stiffener를 불인效果는 대단히 키 應力集中을 크게 防止하여 壓縮應力이 크게 둑아들었으며, 引張應力은 별 차이가 없었다. 게다가 剛性까지 증대되어 높은 挫屈強度를 나타내었다. 이것은 荷重方向으로 補剛을 시킨 경우와 같아 應力集中을 크게 防止한結果라 생각된다. Model  $S_7$ 과  $S_8$ ,  $L_7$ 과  $L_8$ 도 마찬가지로 應力集中面에선 Model  $S_6$ ,  $L_6$ 과 별 차이가 없었으나 剛

性이 커져 挫屈强度가 대단히 크게 되었다.

荷重方向에 따른 CASE A와 CASE B를 比較해 본 결과 Model  $S_1$ ,  $S_2$ ,  $S_3$ ,  $S_4$ ,  $S_5$  및  $L_1$ ,  $L_2$ ,  $L_3$ ,  $L_4$ ,  $L_5$ 는 별 차이가 없었으나 Model  $S_6$ ,  $S_7$ ,  $S_8$  및  $L_6$ ,  $L_7$ ,  $L_8$ 은 커다란 차이를 보여주었다.

이것은 荷重方向이 바뀌면 前者は 같은 形狀을 이루지만 後자는 剛性函에서 stiffener의 方向이 壓縮荷重方

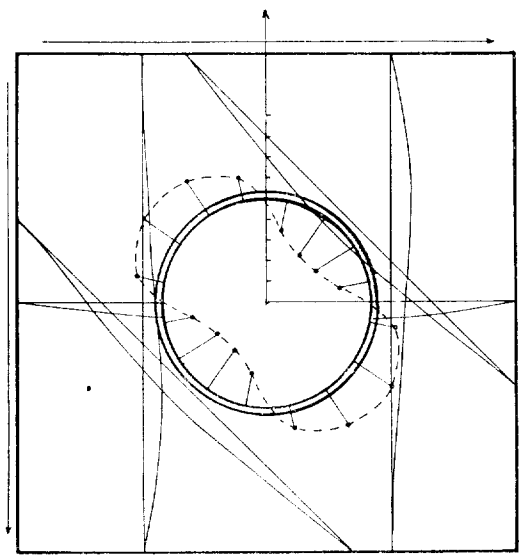


Fig. 13 The buckling mode and stress distribution of Model  $L_5$

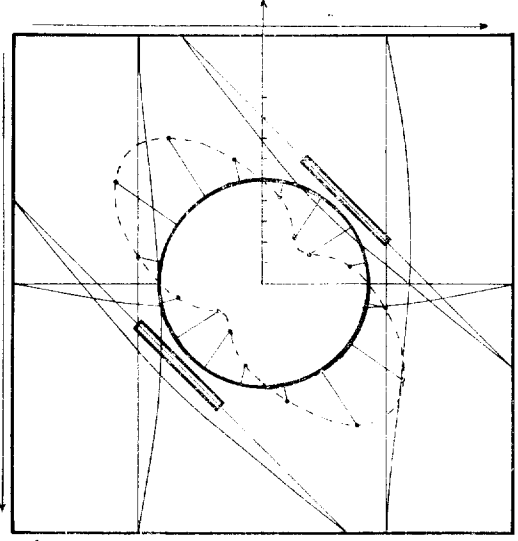


Fig. 14 The buckling mode and stress distribution of Model  $L_6$

향과一致하던 것이荷重方向과  $90^\circ$ 를 이루어 刚性이  
크게 떨어지는 것에 기인된 것이라 생각된다.

다음에 doubler와 stiffener의 補剛을 比較하기 위해  
doubler의 길이만큼의 直線 stiffener를 붙인 경우와  
doubler를 붙인 Model  $S_5$ 와  $L_5$ 를 比較했는데, CASE A  
에서는 Model  $S_5$ 와  $L_5$ 는 stiffener를  $135^\circ$ 로 붙인 model  
보다는 挫屈强度가 낮았지만 stiffener를  $90^\circ$ 로 붙인 model  
보다는 높았다. CASE B에서는 Model  $S_5$ 와  $L_5$   
는 stiffener를  $135^\circ$ 로 붙인 model과  $90^\circ$ 로 붙인 model  
보다 挫屈强度가 커졌다. Fig. 6에서 △表는 doubler를  
붙인  $S_5$ 의 挫屈係數이며 □表는 doubler를 붙인 Model  
 $L_5$ 의 挫屈係數이다.

結論의으로荷重方向을 안다면 즉, CASE A와 CASE B를 定할 수 있다면 CASE A에서는 doubler補剛보다는 stiffener補剛이 훨씬 有利하고, CASE B에서는 doubler補剛이 stiffener補剛보다 有利한 것을 알 수 있다.

이 밖에 平板의 대각선方向으로一直線으로 補剛材를  
분해 解析했는데, CASE A에서는  $k=7.192$ 가 나왔고  
CASE B에서는 5.271이 나왔다. 같은 길이로 補剛한  
Model  $L_7$ 과 비교하면 상당히 挫屈强度가 낮은 것을  
알수있다. 또한 사각형의 stiffener를 붙여 解析한 결과  
doubling을 한 效果와 거의 같은 結果를 보여 주었다.

## 5. 結 言

本論文에서 有孔板과 補剛된 有孔板에 對해 剪斷挫屈解析을 하여 다음과 같은 結論을 얻었다.

- (1) 孔의 直徑이 카본에 따라 挫屈强度는 낮아진다.
- (2) 보통 平板과는 달리 有孔板에서는 孔주위에서  
應力(剪斷荷重에서는 圧縮과 引張應力) 集中이 發生하  
므로 初期應力を 面內境界條件를 주어 求해야 한다.
- (3) 剪斷荷重의 方向에 따라 挫屈係數는 달라진다.
- (4) stiffener를 길게 補剛시키면 挫屈强度는 크게된다.

(5) stiffener의 重量이 같을때 CASE A에서는 dou-  
bler로 補剛한 model이 stiffener를  $135^\circ$ 로 붙인 model  
보다 挫屈强度가 낮았고  $90^\circ$ 로 붙인 model보다는 커으며 CASE B에서는 doubler로 補剛한 model이 stiffener  
를  $135^\circ$ 나  $90^\circ$ 로 붙인 model보다 挫屈强度가 커졌다.

(6) 따라서 效果的인 補剛方法은 荷重方向을 알 때는  
stiffener를 圧縮應力方向으로 붙여 補剛하면 좋고, 荷  
重方向을 모를 때는 doubler나 4각형 stiffener로 補剛하  
는 것이 좋다.

앞으로 shear와 compression을 同時に 받는 補剛된  
有孔板에 對해 解析할 예정이다. 끝으로 本研究는 한  
국과학재단의 支援事業의 一環으로遂行되었음을 付記  
한다. 또한 本研究遂行에 爵질한 助言을 주신 서울工

大任尚鎮教授와 진해 기계창의 송준태 박사께 감사드립니다.

### 參 考 文 獻

- [1] 任尚鎮, 張昌斗, 羅昇洙, “補剛된 有孔板의 挫屈强度解析(第1報)”, J. of SNAK. Vol. 19, No. 4, Dec. 1982.
- [2] K.C. Rockey, R.G. Anderson and Y.K. Cheung, “The Behavior of Square Shear Webs Having a Circular Hole”, Thin Walled Steel Structures. 1968. pp. 48-172.
- [3] W.D. Kroll, “Instability in Shear of Simply Supported Square Plates with Reinforced Hole,” J. of Research of the National Bureau of Standards, Vol. 43. Nov., 1949.
- [4] S.P. Timoshenko and J.M. Gere, “Theory of Elastic Stability,” 2nd ed. McGraw-Hill Ltd. 1941.
- [5] C.D. Dym and I.H. Shames, “Solid Mechanics, a Variational Approach,” McGraw-Hill Ltd. 1973.
- [6] Szilard, “Theory and Analysis of Plates”, Prentice-Hall Inc. 1974.
- [7] K.C. Rockey and H.R. Evans, “The Finite Element Method”, Granada Publishing Ltd. 1975.
- [8] Klaus-Jürgen Bathe and Edward L. Wilson, “Numerical Method in Finite Element Analysis”, Prentice-Hall Inc. 1976.
- [9] E. Hinton and D.R.J. Owen, “Finite Element Programing”, Academic Press 1977.
- [10] Kanwar K. Kapur and B.J. Hartz, “Stability of Plates using the Finite Element Method”, EM. 1966.
- [11] J.F. Grosskurth and R.H. Gallagher, “Shear Buckling of Square Perforated Plates”, ASCE. EM 6. 1976.
- [12] 西原誠一郎 外, “有孔板の剪断强度と補強について”, 日本造船學會春季講演會, 昭和 55年 5月
- [13] Y. Fujita, K. Yoshida and H. Arai, “Instability of Plates with Hole” (2nd Report), J. Soc. Naval Arch. Japan, Vol. 127, 1969.
- [14] Y. Fujita, K. Yoshida and H. Arai, “Instability of Plates with Hole” (3rd Report), J. Soc. Naval Arch. Japan, Vol. 127, 1970.

張昌斗・羅昇洙